

**Anexa nr. 9 la Contract nr. 10N/2016**

**Contractor: INCDFM**

**Cod fiscal : RO9068280**

anexa la procesul verbal de avizare interna nr. ....

**De acord,**  
**DIRECTOR GENERAL**  
**Dr. Ionut Enculescu**

**Avizat,**  
**DIRECTOR DE PROGRAM**  
**Dr.Lucian Pintilie**

**RAPORT DE ACTIVITATE AL FAZEI**

**Contractul nr.: 10N/10.03.2016**

**Proiectul PN16480101: Fenomene si procese fizico-chimice in sisteme nanometrice complexe, suprafete si interfete**

**Faza nr. 4 : Proprietati topologice ale fosforenei manifestate in regim de transport cuantic.**

**Termen: 15.07.2016**

**1. Obiectivul proiectului:**

Prezentul proiect isi propune sa desfasoare studii aprofundate privind fenomenele fizico-chimice care au loc in sisteme nanometrice complexe, pe suprafete sau la interfete, cu focalizare pe materiale functionale care au potential aplicativ in domenii industriale de inalta tehnologie, energetica, spatiu si securitate, protectia mediului si preventirea poluarii, precum si in stiintele vietii.

**2. Rezultate preconizate pentru atingerea obiectivului:**

Principale tinte pe care ne propunem sa le atingem prin implementarea proiectului :

- intelegera proceselor fizice in materiale si structurile lor, prin modelare si prin studiu proprietatilor feroelectrice, magnetice, optice si fotoelectrice ale acestora; in acelasi scop ne propunem sa studiem rolul structurii cristaline, efectele de dimensiune, rolul suprafetelor/interfetelor;
- modelarea dinamicii purtatorilor de sarcina in sisteme mezoscopice, in scopul modelarii tranzitiei de la fotoluminescenta la photocurent si in scopul controlului optic si electric al starilor excitonice si biexcitonice si relevarea unui proces optic neliniar ca rezultat al interactiei exciton-foton;
- investigarea proprietatilor materialelor cuantice cu proprietati topologice particulare;

- studiul proceselor catalitice si photocatalitice, al transferului de sarcina si al reactiilor chimice, cu aplicatii in materiale pentru energie, biomedicina si protectia mediului.

### 3. Obiectivul fazei:

Proprietati spectral ale fosforenei in sisteme confinante de tip banda si plaheta nanometrica.

Transport electronic in camp magnetic intens si evidențierea fenomenului de superradianta.

### 4. Rezultate preconizate pentru atingerea obiectivului fazei:

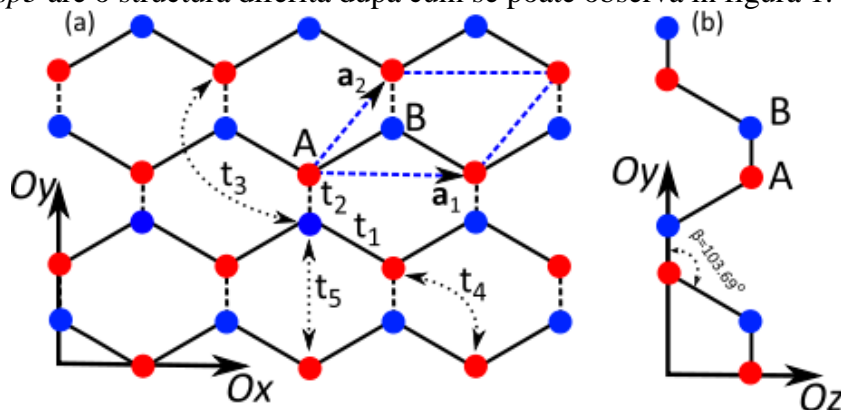
Faza a vizat in primul rand elucidarea unor proprietati ale spectrului de benzi electronice ale fosforenei si analiza fenomenelor de conductie in banda plata, cu identificarea efectului invaziv al contactelor de masura in configuratie Hall. In plus am pus in evidenta efecte superradiative in banda cusi-plata a fosforenei.

### 5. Rezumatul fazei:

Scopul fazei consta in studiera proprietatilor mezoscopice ale retelei de fosforena in camp magnetic perpendicular. Am demonstrat ca ruperea bipartitismului da nastere asimetriei electron-gol in spectrul energetic. Deasemenea proprietatile topologice ale starilor de margine in ribbonul zig-zag de fosforena au fost analizate din perspectiva degenerarii, localizarii si dispersiei in camp magnetic. Transport cuantic a fost analizat prin simulare unui dispozitiv Hall cu patru terminale si utilizand formalismul Landauer-Büttiker am scos in evidenta comportamentul dissipativ al starilor de margine topologice.

#### *Modelul electronilor strans legati in reteaua de fosforena*

Spre deosebire de grafena care este o retea hexagonală plană, fosforena, datorita hibridizării  $sp^3$  are o structură diferită după cum se poate observa în figura 1.



**Figura 1:** (a) Reprezentare schematică a retelei de fosforena. A (rosu) și B (albastru) indicează cei doi atomi din celula unitate,  $t_1$ ,  $t_2$ ,  $t_3$ ,  $t_4$ ,  $t_5$  reprezintă elementele de hopping ce conectează siturile retelei, iar linia albastră punctată reprezintă celula unitate unde  $\vec{a}_1$  și  $\vec{a}_2$  sunt vectorii unitate. (b) Proiecția retelei pe planul  $yz$ .

In modelul electronilor strans legati, reteaua de fosforena este descrisa de cincii elemente de hopping ( $t_1, t_2, t_3, t_4, t_5$ ) [1], care influenteaza semnificativ spectrul energetic in comparatie cu grafena sau alte retele bidimensionale. Hamiltonianul fosforenei in aproximatia electronilor strans legati ca fi urmatorul:

$$H^0 = \sum_{n,m} \epsilon_a a_{n,m}^\dagger a_{n,m} + \epsilon_b b_{n,m}^\dagger b_{n,m} + t_1(a_{n+1,m}^\dagger b_{n,m} + a_{n,m}^\dagger b_{n,m}) + t_2 a_{n,m+1}^\dagger b_{n,m} + \\ t_3(a_{n,m+2}^\dagger b_{n,m} + a_{n-1,m+2}^\dagger b_{n,m}) + t_5 a_{n+1,m-1}^\dagger b_{n,m} + H.c.,$$

$$H^4 = \sum_{n,m} t_4(a_{n,m+1}^\dagger a_{n,m} + a_{n-1,m+1}^\dagger a_{n,m}) + t_4(b_{n,m+1}^\dagger b_{n,m} + b_{n-1,m+1}^\dagger b_{n,m}) + H.c.$$

Hamiltoninul total care descrie reteaua va fi  $H = H^0 + H^4$ , unde  $\epsilon_a$  si  $\epsilon_b$  sunt energiile atomice ale siturilor A respectiv B si  $t_1 = -1.22\text{eV}$ ,  $t_2 = 3.665\text{eV}$ ,  $t_3 = -0.205\text{eV}$ ,  $t_4 = -0.105\text{eV}$  si  $t_5 = -0.055\text{eV}$ . Am ales sa separam Hamiltonianul total in  $H^0$  si  $H^4$ , deoarece elementul de hopping  $t_4$  conecteaza siturile de acelasi fel (A-A si B-B) ceea ce duce la distrugerea bipartitismului, iar ca prima consecinta la ruperea simetriei electron-gol. Pentru a studia proprietatile spectrale ale Hamiltonianului total, care descrie comportarea electronilor in reteaua de fosforena trebuie sa transformam Fourier in lungul ambelor directii  $O_x$  si  $O_y$  si astfel obtinem Hamiltonianul in spatiul reciproc. Spectrul retelei de fosforena se poate observa in figura 2, el prezentand o puternica anisotropie si deasemenea asimetrie electron-gol.

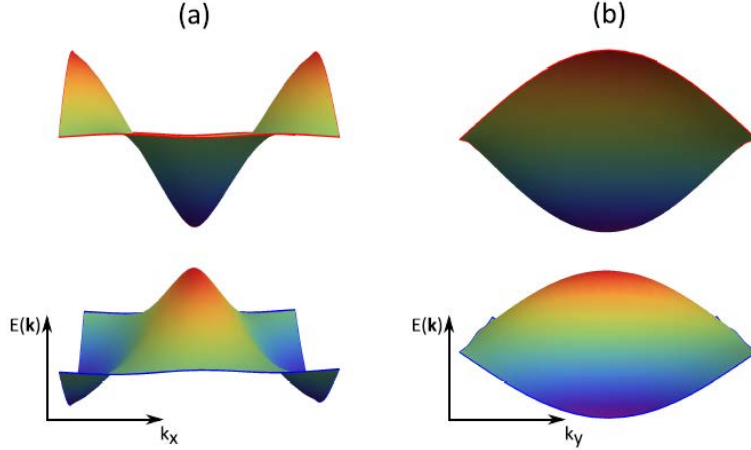


Figura 2: Spectrul de dispersie al retelei de fosforena cu conditii periodice. Anisotropia spectrului se manifesta in jurul punctului  $\Gamma$ : (a) spectrul in lungul axei  $k_x$  arata un comportament Dirac (lege de dispersie liniara) si (b) spectrul in lungul axei  $k_y$  arata un comportament Schrödinger.

Simetria electron-gol a spectrului energetic este asigurata atata timp cat exista un operator  $P$  care sa anticomute cu Hamiltonianul,  $[H, P]_+ = 0$ . Daca  $E$  este o valoare proprie a Hamiltonianului, atunci  $H\psi_E = E\psi_E$  si daca  $-E$  apartine deasemenea spectrului energetic , atunci functia proprie corespunzatoare este  $\tilde{\psi}_{-E} = P\psi_E$ . In cazul fosforenei operatorul  $P$  este de forma:

$$P = \sum_{\vec{k}} a_{\vec{k}}^\dagger a_{\vec{k}} - b_{\vec{k}}^\dagger b_{\vec{k}}$$

Operatorul de mai sus anticomuta cu Hamiltonianul  $H_{\vec{k}}^0$ , cea ce dovedeste ca spectrul lui  $H_{\vec{k}}^0$  este simetric in jurul energiei de zero, dar  $P$  nu anticomuta cu tot Hamiltonianul fosforenei,  $H_{\vec{k}}^0 + H_{\vec{k}}^4$ , rezultatul fiind proportional cu  $t_4$ . In concluzie spectrul fosforenei este simetric in jurul valorii de zero daca neglijam elementul de hopping  $t_4$ .

#### *Proprietati spectrale ale ribbonului de fosforena in camp magnetic*

In Hamiltonianul de mai sus ( $H = H^0 + H^4$ ), impunem doua margini paralele cu lanturile zig-zag la  $m = 1$  si  $M$ , iar in lungul axei  $O_x$  punem contitii periodice. Transformata Fourier in lungul directiei  $O_x$  genereaza un Hamiltonian care descrie comportamentul electronilor intr-o geometrie de tip ribbon:

$$\begin{aligned} H^0(k_x) &= \sum_{m=1}^M \epsilon_a a_{k_x,m}^\dagger a_{k_x,m} + \epsilon_b b_{k_x,m}^\dagger b_{k_x,m} + t_1(e^{i(\phi_1-k_x)} + e^{-i\phi_1})a_{k_x,m}^\dagger b_{k_x,m} \\ &\quad + \sum_{m=1}^{M-1} t_2 a_{k_x,m+1}^\dagger b_{k_x,m} + \sum_{m=1}^{M-2} t_3(e^{i\phi_3} + e^{-i(\phi_3-k_x)})a_{k_x,m+2}^\dagger b_{k_x,m} \\ &\quad + \sum_{m=1}^{M-1} t_5 e^{ik_x} a_{k_x,m-1}^\dagger b_{k_x,m} + H.c., \\ H^4(k_x) &= t_4 \sum_{m=1}^{M-1} (e^{i\phi_{4B}} + e^{-i(\phi_{4B}-k_x)})b_{k_x,m+1}^\dagger b_{k_x,m} \\ &\quad + (e^{i\phi_{4A}} + e^{-i(\phi_{4A}-k_x)})a_{k_x,m+1}^\dagger a_{k_x,m} + H.c., \end{aligned}$$

unde  $\phi_1, \phi_3, \phi_{4A}, \phi_{4B}$  sunt fazele Peierls pe care anumite elemente de hopping le castiga in prezenta campului magnetic perpendicular. Pentru a obtine spectrul electronic trebuie sa diagonalizam Hamiltonianul de mai sus pentru orice valoare a impulsului  $k_x$  cuprinsa intre  $[-\pi, \pi]$ , figura 3.

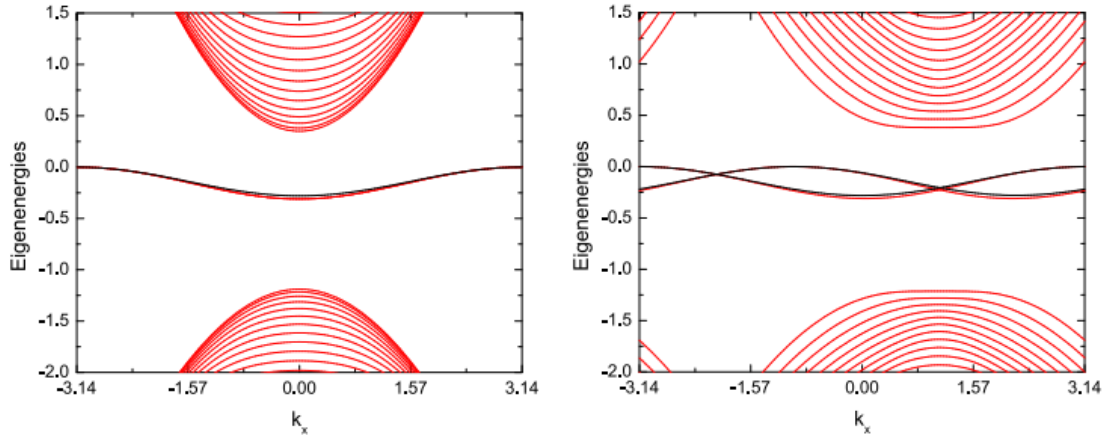


Figura 3: Spectrul energetic al ribbonului zig-zag de fosforena. Ridicarea de degenerare a benzii quasi-plate in camp magnetic poate fi remarcata prin compararea celor doua spectre: in partea stanga campul magnetic este zero, iar in partea dreapta  $\phi = 0.01(h/e)$ . Liniile rosii reprezinta valorile numerice, iar liniile negre reprezinta valorile analitice.

Pentru a obtine valorile analitice ale valorilor proprii in zona energiilor benzii cuasi-plate consideram  $t_3 = t_5 = 0$ ,  $\epsilon_a = \epsilon_b = 0$  si profitam de avantajul localizarii functiei de unda la cele doua margini ale ribbonului ( $m = 1$  si  $m = M$ ). Obtinem astfel valorile:

$$E^1(k_x, \phi) \cong \bar{t}_{4A}(1, \phi)(-\bar{t}_1(1)^*/t_2)|\xi_{k_x,1}^A|^2 + c.c,$$

$$E^2(k_x, \phi) \cong \bar{t}_{4B}(M-1, \phi)(-\bar{t}_1(M)/t_2)|\xi_{k_x,M}^B|^2 + c.c,$$

unde  $\bar{t}_1(m) = t_1(e^{i(\phi_1(m)-k_x)} + e^{-i\phi_1(m)})$ ,  $\bar{t}_{4A}(m) = t_4(e^{i\phi_{4A}(m)} + e^{-i(\phi_{4A}(m)-k_x)})$ , asemanator se poate scrie si relatia pentru  $\bar{t}_{4B}(m)$ , iar  $\xi_{k_x,1}^A$  si  $\xi_{k_x,M}^B$  sunt coeficientii functiilor de unda. In figura 3 am comparat spectrul benzii cuasi-plate in absenta (stanga) si in prezenta (dreapta) campului magnetic perpendicular. Elementul de hopping  $t_4$  genereaza dispersia benzii, iar campul magnetic ridica degenerarea. Curbele rosii reprezinta valorile numerice calculate luand in considerare toate cele 5 elemente de hopping, in timp ce curbele negre reprezinta valorile analitice de mai sus. Fitul dintre cele doua curbe este unul destul de bun si puntem concluziona ca  $t_3$  si  $t_5$  au o influenta neglijabila in domeniul energiilor benzii cuasi-plate.

### Efectul Hall cuantic intreg in fosforena

Pentru a investiga proprietatile in camp magnetic perpendicular simulam un dispozitiv Hall prin atasarea de fire la sistem, fiecare fir este atasat de marginea zig-zag a fosforenei. Am ales sa atasam fire doar pe marginea zig-zag deoarece aceasta configuratie este singura care poate pune in evidenta proprietatile de transport ale starilor topologice [2, 3], localizate in lungul marginilor zig-zag.

In ceea ce priveste efectul Hall cuantic trebuie remarcat platoul  $G_H = 0$ , care corespunde gapului central, figura 4.

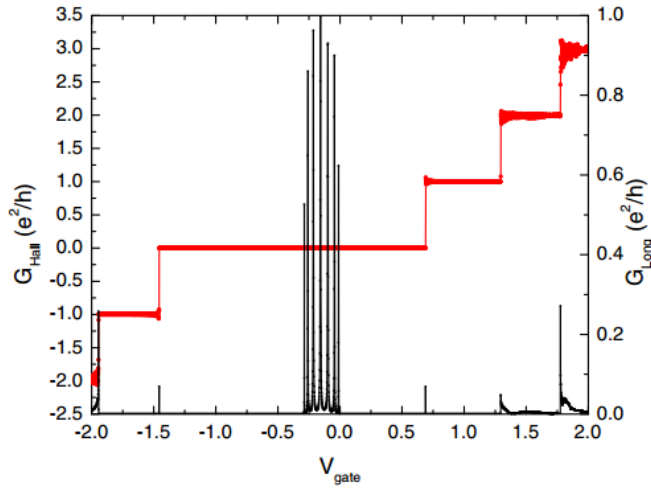


Figura 4: Calculul numeric al conductantei Hall (rosu) si al conductantei longitudinale (negru) in regim Hall cuantic ca functie de Vgate. Conductanta longitudinala prezinta o serie de peakuri in domeniul energiilor benzii quasi-plate. Numarul de situri este  $107 \times 40$ , fluxul magnetic  $\phi = 0.1(h/e)$  si energia Fermi pe fire  $E_F = 0$ .

Platourile din efectul Hall cuantic sunt asemanatoare cu cele masurate in gazul de electroni bidimensionali, adica merg in pasi de  $n = \pm 1, \pm 2, \dots$  in unitati de  $e^2/h$ . Deoarece spectrul fosforenei este asimetric, dupa cum am vazut din calculul de benzi, se observa ca lungimea palierelor Hall este diferita in functie de regiunea din spectru unde se afla, pozitiva sau negativa. Platourile Hall sunt generate de prezena in spectru a starilor de margine chirale, iar starile de margine topologice din banda quasi-plata au un caracter non-chiral deoarece ele nu contribuie la efectul Hall cuantic, conductanta lor fiind  $G_H = 0$ . In ceea ce priveste conductanta longitudinala aceasta are un comportament ne-disipativ in domeniul energiilor platourilor Hall ( $G_L = 0$ ), iar in domeniul energiilor benzii quasi-plate  $[-0.3, 0]$  prezinta o serie de peakuri (comportament disipativ). Caracterul disipativ al starilor de margine non-chirale a fost intalnit si in contextul energiilor de zero in grafena [4]. Din analiza Hamiltonianului efectiv si a coeficientilor de transmisie am pus in evidenta, variind cuplajul dintre proba si fire, un regim superradiativ in domeniul energiilor benzii quasi-plate.

### *Concluzii*

Am demonstrat analitic ruperea de simetrie electron-gol si am pus in evidenta rolul jucat de elementul de hopping  $t_4$ , in modelul electronilor strans legati, singurul care violeaza bipartitismul retelei.

In cazul ribbonului zig-zag am demonstrat analitic degenerarea starilor de margine topologice localizate pe margini opuse si am aratat ca degenerarea este ridicata de catre campul magnetic perpendicular.

Prin simularea unui dispozitiv Hall am scos in evidenta comportamentul ne-chiral al starilor de margine topologice, iar seria de peakuri din conductanta longitudinala releva caracterul disipativ al acestor stari.

### *Bibliografie*

- [1] A. N. Rudenko and M. I. Katsnelson, Phys. Rev. B 89 201408(R) (2014).
- [2] M. Ezawa, New J. Phys. 16, 115004 (2014).
- [3] B. Ostahie and A. Aldea Phys. Rev. B 93 075408 (2016).
- [4] D. A. Abanin, K. S. Novoselov, U. Zeitler, P. A. Lee, A. K. Geim, and L. S. Levitov Phys. Rev. Lett. 98, 196806 (2007).

### 6. Rezultate, stadiul realizării obiectivului fazei, concluzii și propuneri pentru continuarea proiectului

Obiectivele propuse au fost realizate si concretizate in lucrarea " Phosphorene confined systems in magnetic field, quantum transport, and superradiance in the quasiflat band" autori B. Ostahie si A. Aldea, publicata in Physical Review (SUA, 2016). Tematica este de mare actualitate in fizica starii condensate in perspectiva evidențierii proprietatilor

topologice. Din punctul de vedere al acestor proprietati de mare interes este aplicare tehniciilor de Hamiltonian ne-Hermitic pentru intelegerarea efectului Hall cuantic, precum si influenta defectelor si efectele dezordinii asupra starilor topologice in prezenta/absenta campurilor magnetice.

Responsabil proiect

Dr. Sorina Lazanu

Responsabil faza

Drd. Bogdan Ostahie

Dr. Alexandru Aldea